

# Projeto 4 - Movimento Oscilatório

Instituto de Física de São Carlos

Universidade de São Paulo

Vinícius Bastos Marcos (12556715)

Introdução à Física Computacional

Prof. Francisco Castilho Alcaraz

Novembro, 2022



## Tarefa A

Essa tarefa trata-se da descrição de um dos movimentos oscilatórios mais simples: o pêndulo na aproximação para ângulos pequenos. Para isso, nos é apresentado dois métodos: Euler e Euler-Cromer. Veremos que o primeiro possui deficiências e que o segundo é uma pequena correção que faz toda diferença.

A equação diferencial de segunda ordem que descreve o pêndulo simples, na aproximação  $\sin\theta \approx \theta$ , é:

$$\frac{d^2\theta}{dt^2} = -\frac{g}{l}\theta$$

O método de Euler para o problema é:

$$\omega_{i+1} = \omega_i - \frac{g}{l}\theta_i\Delta t \Rightarrow \omega_i = \omega_{i+1} + \frac{g}{l}\theta_i\Delta t \quad (1)$$

$$\theta_{i+1} = \theta_i + \omega_i\Delta t \Rightarrow \theta_{i+1} = \theta_i + \Delta t \cdot (\omega_{i+1} + \frac{g}{l}\theta_i\Delta t) \quad (2)$$

Perceba que manipulei as equações da esquerda, as "originais", para que na implementação do código não seja necessária a criação de variáveis em demasia, consigo calcular  $\theta_{i+1}$  a partir do  $\omega_{i+1}$ .

O método de Euler-Cromer por sua vez, modifica apenas a equação (2) do método de Euler. Assim,

$$\omega_{i+1} = \omega_i - \frac{g}{l}\theta_i\Delta t \quad (3)$$

$$\theta_{i+1} = \theta_i + \omega_{i+1}\Delta t \quad (4)$$

Veja que neste caso a manipulação realizada no método de Euler não se faz necessária.

Com isso, iremos calcular a velocidade angular,  $\omega$ , e a posição angular,  $\theta$ . Com isso, será possível plotar um gráfico de  $\theta$  versus *tempo*, que deve ser uma oscilação senoide com amplitude constante.

Calcularemos também a Energia total da massa em cada instante de tempo, que pelo princípio da conservação de energia deve ser a mesma, constante, da seguinte maneira:

$$E = mgl(1 - \cos\theta) + \frac{1}{2}m\omega^2l^2, \quad (5)$$

plotaremos esse gráfico da energia versus tempo.

O código utilizado para implementar o que foi descrito está disposto logo abaixo.

```
1  c      tarefa a
2      implicit real*8(a-h, o-z)
3      parameter(tempo = 100.d0) !tempo total do problema
4      parameter(i = 1000) !número de passos
5      parameter(g = 9.8d0) !aceleração gravitacional
6      parameter(comp = 9.8d0) !comprimento do pêndulo
7      parameter(pi = dacos(-1.d0))
8      parameter(rm = 1.d0) !massa
9
10     c      arquivos de saída para graficar
11     iout10 = 10 !unidade arquivo de saída
```

```

12      iout11 = 11 !unidade arquivo de saída
13      open(unit=iout10, FILE='saida-a-thetaeuler.dat')
14      open(unit=iout11, FILE='saida-a-energiaeuler.dat')
15      iout20 = 20 !unidade arquivo de saída
16      iout21 = 21 !unidade arquivo de saída
17      open(unit=iout20, FILE='saida-a-thetaeulercromer.dat')
18      open(unit=iout21, FILE='saida-a-energiaeulercromer.dat')
19
20      omega0 = 0.d0 !iniciando a velocidade angular
21      deltaT = tempo/i !o valor de cada delta t
22      theta0 = (15.d0/180.d0)*pi !15 graus em radianos
23
24  c      Método de Euler
25      omega = omega0
26      theta = theta0
27      E = 0.d0
28      do j = 1, i
29          !cálculo da energia total
30          E = rm*g*comp*(1.d0 - dcos(theta))+(0.5d0)*rm*(comp*omega)**2
31          !cálculo do omega
32          omega = omega - (g/comp)*theta*deltaT
33          !cálculo do theta
34          theta = theta + deltaT*(omega + (g/comp)*theta*deltaT)
35          write(iout10,*) j*deltaT, mod(theta, 2*pi)
36          write(iout11,*) j*deltaT, E
37      end do
38
39  c      Método de Euler-Cromer
40      omega = omega0
41      theta = theta0
42      E = 0.d0
43      do j = 1, i
44          !cálculo da energia total
45          E = rm*g*comp*(1.d0 - dcos(theta))+(0.5d0)*rm*(comp*omega)**2
46          !cálculo do omega
47          omega = omega - (g/comp)*theta*deltaT
48          !cálculo do theta
49          theta = theta + deltaT*omega
50          write(iout20,*) j*deltaT, mod(theta, 2*pi)
51          write(iout21,*) j*deltaT, E
52      end do
53
54      close(iout10)
55      close(iout11)
56      close(iout20)
57      close(iout21)
58
59  end

```

#### Algoritmo 1: código para resolução da tarefa A

Rodando o código e plotando os gráficos chegamos aos seguintes resultados, que nos leva as seguintes conclusões.

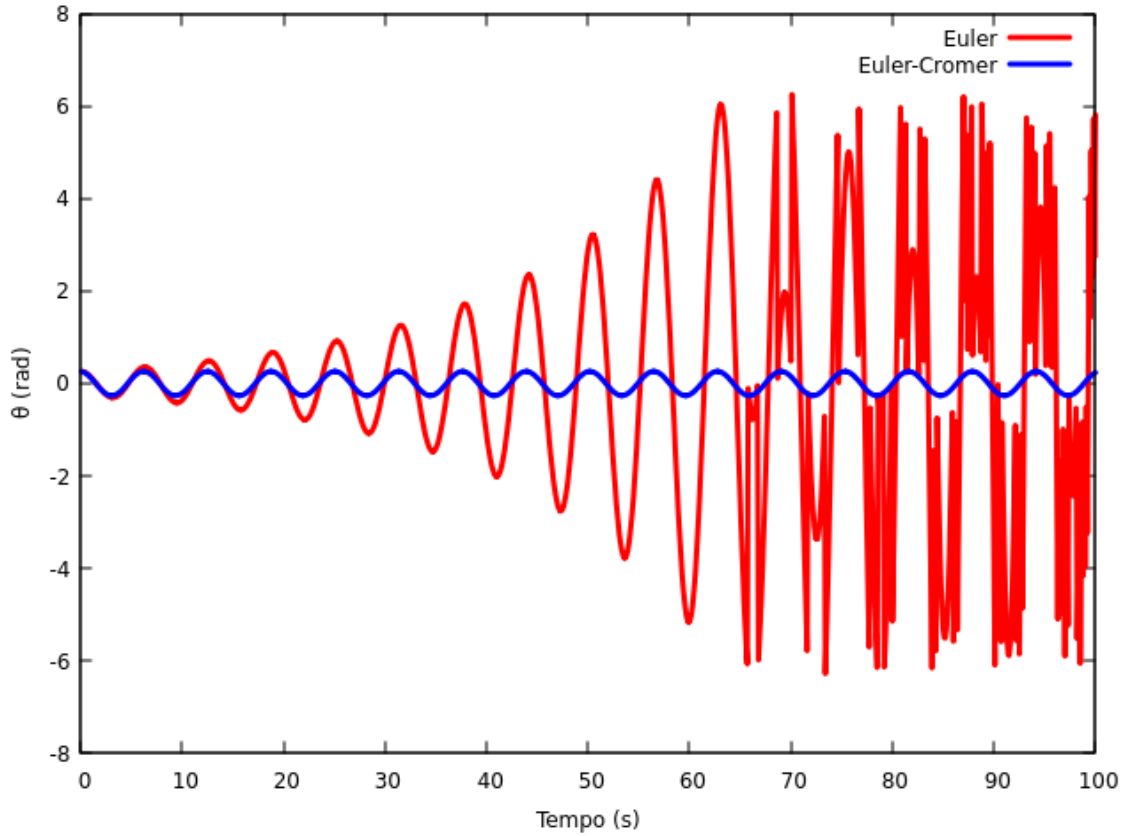


Figura 1: gráfico de  $\theta(t)$  para os métodos de Euler e Euler-Cromer

Era esperado que a função  $\theta(t)$  fosse uma senoide, limitada inferior e superiormente. Vemos claramente que o método de Euler não nos leva na descrição correta do movimento, visto que a amplitude de movimento aumenta de maneira que não faz nem sentido.

O método de Euler-Cromer, por sua vez, nos mostra exatamente o que esperávamos, sendo portanto o melhor método.

O gráfico de  $E(t)$  abaixo nos confirma o que foi discutido acima: o método de Euler nos leva a absurdos, como a não conservação da energia total do sistema. O método de Euler-Cromer, mais uma vez nos fornece o que esperávamos: um gráfico constante, que pela escala do gráfico para estar no zero, mas ao consultar o arquivo com os dados, vemos que está em torno de  $3J$ .

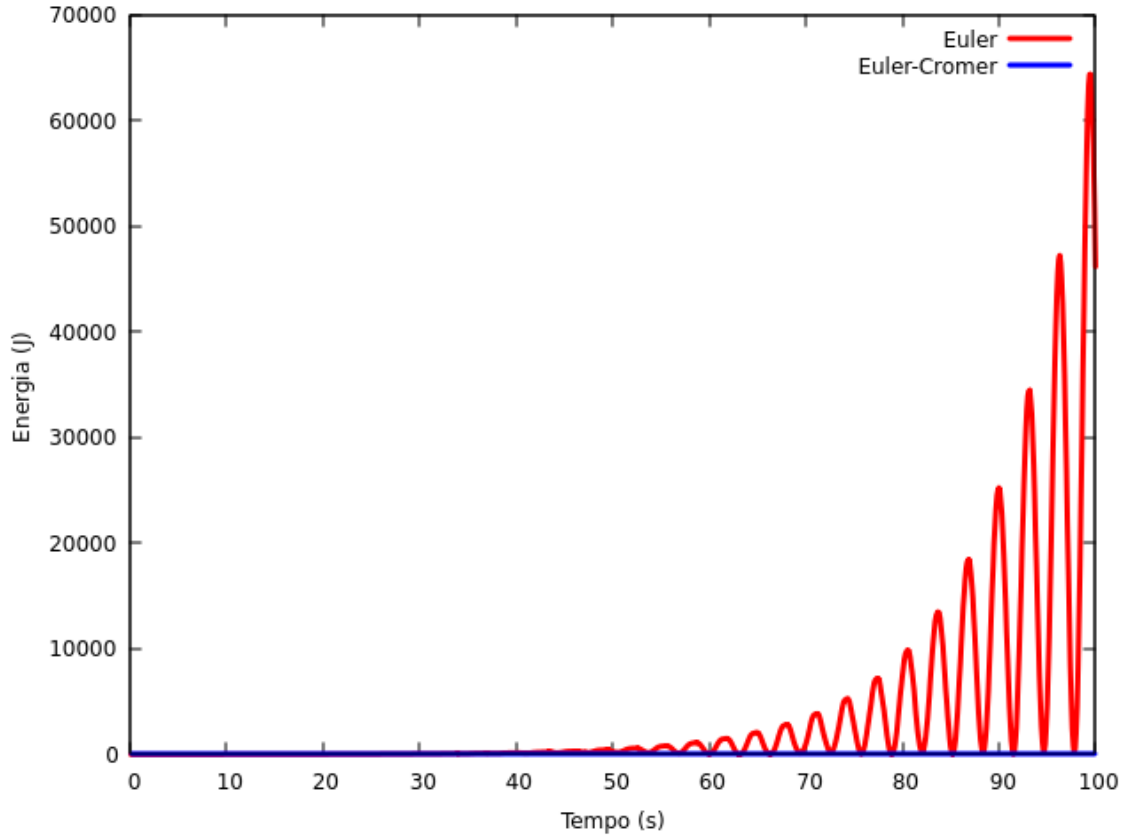


Figura 2: gráfico de  $E(t)$  para os métodos de Euler e Euler-Cromer

## Tarefa B

Essa tarefa, assim como todas as posteriores (C, D e E), são sobre um movimento mais geral de um pêndulo. Temos agora amortecimento ( $\gamma$ ) e uma força senoidal imposta ( $F_0$ ). A equação diferencial de segunda ordem que descreve o movimento da massa é:

$$\frac{d\omega}{dt} = -\frac{g}{l}\sin(\theta) - \gamma\frac{d\theta}{dt} + F_0\sin(\Omega t)$$

que tornando-a discreta (adaptando o método de Euler-Cromer para o problemas mais geral) e usando o fato de que  $\frac{d\theta}{dt} = \omega$ , temos

$$\omega_{i+1} = \omega_i - \frac{g}{l}\sin(\theta_i)\Delta t - \gamma\omega_i\Delta t + \Delta t F_0\sin(\Omega t) \quad (6)$$

e para o  $\theta_{i+1}$  utilizaremos a mesma equação (4).

## Tarefas B1 e B2

As tarefa B1 e B2 são sobre o cálculo do período do movimento descrito acima, recaindo no caso na tarefa A, pois  $\gamma = F_0 = 0$ . Devemos calculá-lo para alguns valores de  $\theta_0$ , mostrando que depende da condição inicial.

O cálculo desse período deve ocorrer de três maneiras:

- Com a descrição do movimento, distância temporal entre cristas, que no caso é quando  $\theta = \theta_0 t$ , pois pela conservação de energia e como não há dissipação da

mesma, esse é o máximo. Mas no código isso vai se traduzir em mudança de sinal do ângulo;

- Pelo cálculo numérico da integral elíptica a seguir

$$T = \sqrt{\frac{2l}{g}} \int_{\theta_0}^{-\theta_0} \frac{d\theta}{\sqrt{\cos\theta - \cos\theta_0}} \quad (7)$$

utilizando a Regra de Boole e somando um fator(método já explorado e explicado no projeto 3), sendo ele:

$$2 \cdot \sqrt{\frac{2l}{g} \frac{\epsilon}{\sin\theta_0}};$$

- Pela aproximação em ângulos pequenos (verificar se realmente vale):

$$T \approx 2\pi \sqrt{\frac{l}{g}} \left(1 + \frac{\theta_0^2}{16}\right) \quad (8)$$

O código utilizado para isso foi o seguinte:

```

1  c      tarefa b1
2      implicit real*8(a-h, o-z)
3      parameter(tempo = 100.d0) !tempo total do problema
4      parameter(i = 1000) !número de passos
5      parameter(g = 9.8d0) !aceleração gravitacional
6      parameter(comp = 9.8d0) !comprimento do pêndulo
7      parameter(pi = dacos(-1.d0))
8      parameter(rm = 1.d0) !massa
9      parameter(gamma = 0.d0)
10     parameter(F0 = 0.d0)
11
12  c      arquivos de saída para graficar
13     iout10 = 10 !unidade arquivo de saída
14     open(unit=iout10, FILE='saida-bleb2.dat')
15     write(iout10, *) 'Theta0   ',
16     + '                Busca Direta   ',
17     + '                Integral Elíptica   ',
18     + '                Aproximação ângulos pequenos   '
19
20     omega0 = 0.d0 !iniciando a velocidade angular
21     deltaT = tempo/i !o valor de cada delta t
22     theta0 = (5.d0/180.d0)*pi !5 graus em radianos
23
24     do k = 1, 15
25  c      Busca direta do Período
26  c      Método de Euler-Cromer
27     omega = omega0
28     theta = theta0

```

```

29     Tdireto = 0.d0
30     n = 0
31     do while (Tdireto == 0.d0)
32         do j = 1, i
33             !cálculo do omega
34             t = j*deltaT
35             omega = omega - (g/comp)*dsin(theta)*deltaT - gamma*omega*deltaT
36             +aT +F0*deltaT*dsin(omegaF*t)
37             !cálculo do theta
38             theta1 = theta !para comparar
39             theta = theta + deltaT*omega
40             if (theta1 * theta < 0) then
41                 n = n + 1
42                 if (n == 1) then
43                     Tesq = t
44                 else if (n == 3) then
45                     Tdireto = t - Tesq
46                 end if
47             end if
48         end do
49     end do
50
51 c     Integral elíptica - Regra de Boole
52     h = theta0/i
53     eps = 1.d-7 !arbitrário
54     Tint = 0.d0
55     do j = 1, (i/4)-1
56         x0 = -theta0 + 4.d0*j*h + eps
57         Tint = Tint + 7.d0*f(x0-4.d0*h, theta0) + 32.d0*f(x0-3.d0*h,
58             +theta0) + 12.d0*f(x0-2.d0*h, theta0) + 32.d0*f(x0-1.d0*h, theta0)
59         ++ 7.d0*f(x0, theta0)
60     end do
61     Tint = Tint * ((2.d0*h)/45.d0)
62     Tint = Tint + 2.d0*dsqrt((2.d0*comp*eps)/(g*dsin(theta0)))
63
64 c     Aproximação de ângulos pequenos
65     Tpeq = 2.d0 * pi * dsqrt(comp/g) * (1.d0 + ((theta0**2)/16))
66
67     write(iout10,*) theta0, Tdireto, Tint, Tpeq
68
69     theta0 = theta0 + (5.d0/180.d0)*pi !vou de 5 em 5 graus
70     end do
71
72     close(iout10)
73
74     end
75
76     function f(x, theta0)

```

```

77         implicit real*8(a-h, o-z)
78         f = 1.d0/dsqrt(dcos(x) - dcos(theta0))
79     return
80 end function

```

Algoritmo 2: código para resolução das tarefas B1 e B2  
Assim, obtive o seguinte resultado

Theta0	Busca Direta	Integral Elíptica	Aproximação ângulos pequenos
8.7266462599716474E-002	6.3000000000000007	5.8719025654995560	6.2861758817050779
0.17453292519943295	6.3000000000000007	5.9953882422420390	6.2951476052815529
0.26179938779914941	6.3000000000000007	6.0944095441157771	6.3101004779090131
0.34906585039886590	6.3000000000000007	6.1824212066234177	6.3310344995874566
0.43633231299858238	6.3000000000000007	6.2648281189161805	6.3579496703168825
0.52359877559829882	6.4000000000000004	6.3445391737864627	6.3908459900972945
0.61086523819801530	6.4000000000000004	6.4234033509347892	6.4297234589286889
0.69813170079773179	6.5000000000000000	6.5027417703838761	6.4745820768110658
0.78539816339744828	6.6000000000000014	6.5835893651744630	6.5254218437444287
0.87266462599716477	6.6000000000000014	6.6668213887204546	6.5822427597287749
0.95993108859688125	6.6000000000000005	6.7532277040250781	6.6450448247641036
1.0471975511965976	6.7000000000000002	6.8435613056967757	6.7138280388504166
1.1344640137963140	6.7999999999999998	6.9385736625262897	6.7885924019877129
1.2217304763960304	7.0000000000000009	7.0390435627041175	6.8693379141759943
1.3089969389957468	7.0000000000000009	7.1458034851946532	6.9560645754152590

Figura 3: valores obtidos para a resolução das tarefas B1 e B2

Logo, conseguimos concluir que o método da integral elíptica é muito bom e próximo do encontrado diretamente e que o método que serve apenas para ângulos pequenos é realmente muito preciso para tal tarefa.

## Tarefa B3

Essa tarefa nos pede para considerar que  $\gamma = 0,5$  e  $F_0 = 0$ , e plotar seu gráfico  $\theta(t)$ . Assim, devemos classificar o tipo de amortecimento, pela "cara" do gráfico.

O código para implementar o que foi proposto está disposto logo abaixo.

```

1  c      tarefa b3
2      implicit real*8(a-h, o-z)
3      parameter(tempo = 100.d0) !tempo total do problema
4      parameter(i = 1000) !número de passos
5      parameter(g = 9.8d0) !aceleração gravitacional
6      parameter(comp = 9.8d0) !comprimento do pêndulo
7      parameter(pi = dacos(-1.d0))
8      parameter(rm = 1.d0) !massa
9      parameter(gamma = 0.5d0)
10     parameter(F0 = 0.d0)
11
12  c      arquivos de saída para graficar
13     iout10 = 10 !unidade arquivo de saída
14     open(unit=iout10, FILE='saida-b3.dat')
15
16     omega0 = 0.d0 !iniciando a velocidade angular
17     deltaT = tempo/i !o valor de cada delta t

```



```

18     theta0 = (15.d0/180.d0)*pi !15 graus em radianos
19
20 c     Método de Euler-Cromer
21     omega = omega0
22     theta = theta0
23     do j = 1, i
24         !cálculo do omega
25         t = j*deltaT
26         omega = omega - (g/comp)*dsin(theta)*deltaT - gamma*omega*delt
27 +aT +F0*deltaT*dsin(omegaF*t)
28         !cálculo do theta
29         theta = theta + deltaT*omega
30         write(iout10,*) t, theta
31     end do
32
33     close(iout10)
34
35 end

```

Algoritmo 3: código para resolução da tarefa B3

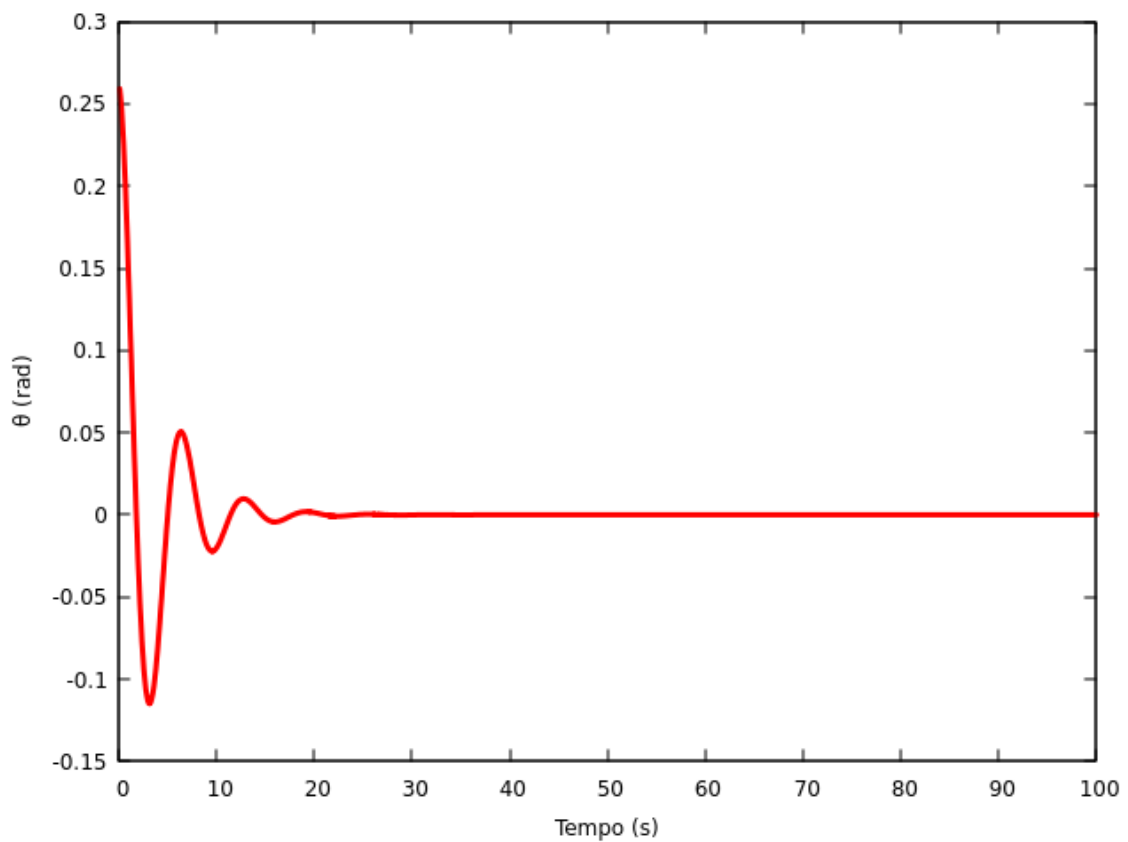


Figura 4:  $\theta(t)$  para a tarefa B3

Assim, é evidente que temos um amortecimento subcrítico, em que vemos uma função senoide modulada por uma exponencial decrescente.

## Tarefa B4

Esta tarefa nos pede para considerar o seguinte caso:  $\gamma = 0,5$ ,  $\Omega = 2/3$ ,  $\Delta t = 0,03$ , e os seguintes casos  $F_0 = 0$ ,  $F_0 = 0,5$ ,  $F_0 = 1,2$ . Devemos plotar os gráficos de  $\theta(t)$  e  $\omega(t)$  para os três casos de  $F_0$ , afim de compará-los. Como o método já foi discutido acima, devo apenas colocar o código implementado abaixo, já que pelas características das tarefas o método é o mesmo.

```
1  c      tarefa b4
2      implicit real*8(a-h, o-z)
3      parameter(tempo = 30.d0) !tempo total do problema
4      parameter(i = 1000) !número de passos
5      parameter(g = 9.8d0) !aceleração gravitacional
6      parameter(comp = 9.8d0) !comprimento do pêndulo
7      parameter(pi = dacos(-1.d0))
8      parameter(rm = 1.d0) !massa
9      parameter(gamma = 0.5d0)
10     parameter(F0 = 1.2d0) !força que vou madar de acordo com o caso
11     parameter(omegaF = 2.d0/3.d0)
12
13  c      arquivos de saída para graficar
14     iout10 = 10 !unidade arquivo de saída
15     open(unit=iout10, FILE='saida-b4-f12.dat') !vou mudando o nome do
16     ↪ arquivo de acordo com o F0
17
18     omega0 = 0.d0 !iniciando a velocidade angular
19     deltaT = tempo/i !o valor de cada delta t
20     theta0 = (15.d0/180.d0)*pi !15 graus em radianos
21
22  c      Método de Euler-Cromer
23     omega = omega0
24     theta = theta0
25     do j = 1, i
26         !cálculo do omega
27         t = j*deltaT
28         omega = omega - (g/comp)*dsin(theta)*deltaT - gamma*omega*delt
29         +aT +F0*deltaT*dsin(omegaF*t)
30         !cálculo do theta
31         theta = theta + deltaT*omega
32         write(iout10,*) t, mod(theta, 2*pi), omega
33     end do
34
35     close(iout10)
36
37     end
```

Algoritmo 4: código para resolução da tarefa B4

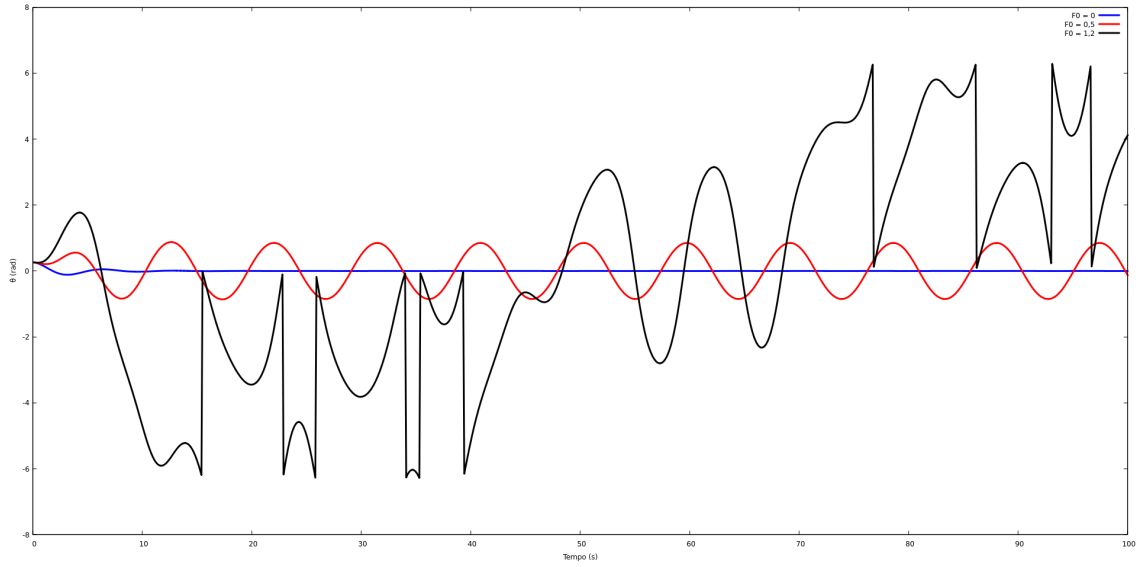


Figura 5:  $\theta(t)$  para os três casos juntos

Como podemos observar na figura 4 acima, temos que o caso  $F_0 = 0$  acaba caindo no caso da tarefa C, um amortecimento subcrítico, portanto um movimento periódico.

O caso  $F_0 = 0,5$ , como conseguimos notar, é um exemplo clássico de movimento oscilatório forçado, que no começo temos o movimento tentando se estabilizar e a partir do quarto pico, no caso, começamos um estado periódico com velocidade angular proveniente de  $\Omega$ .

Já no caso  $F_0 = 1,2$ , esse estado de movimento não é alcançado. Não conseguimos de maneira trivial prever seu movimento, se caracterizando como um movimento não periódico, no caso, caótico.

O que foi explorado acima serve, também, para o gráfico abaixo, da velocidade angular em função do tempo. complementa o que foi observado de movimento periódico previsível e caótico não previsível.

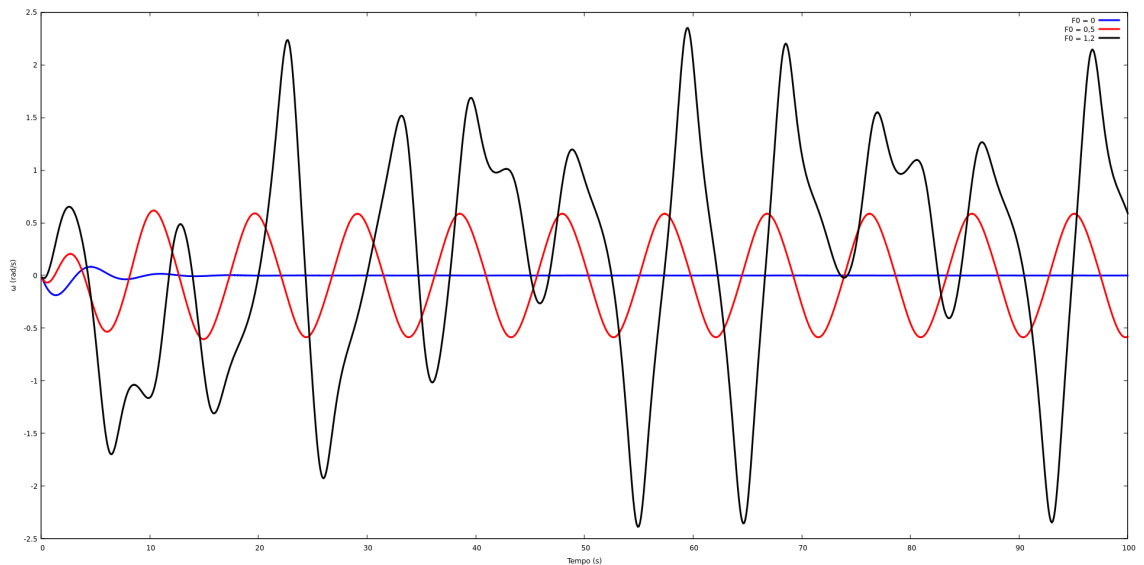


Figura 6:  $\omega(t)$  para os três casos juntos

## Tarefa C

A tarefa C ainda explora os casos acima em que  $F_0 = 0,5$  e  $F_0 = 1,2$ . Só que agora devemos tratar, para cada caso, dois pêndulos forçados mas com ângulo inicial,  $\theta_0$ , diferentes, ou seja, condições iniciais diferentes.

Estudaremos como que a diferença entre a posição angular deles,  $\Delta\theta$  evolui em relação a passagem do tempo, de forma que temos a relação de Liapunov, com seu expoente  $\lambda$ :

$$\Delta\theta \approx \exp \lambda t \quad (9)$$

aplicando o logaritmo natural em ambos os lados da equação:

$$\ln(\Delta\theta) = \lambda t \quad (10)$$

uma função linear.

Segundo Liapunov, se  $\lambda > 0$ , temos um movimento caótico e o contrário,  $\lambda < 0$ , temos um movimento não caótico. Isso pode ser interpretado como conforme o tempo avança, se os movimentos de aproximam ou afastam, drasticamente. Para isso, vou utilizar a diferença inicial da posição angular de 0,001 rad.

Logo, irei plotar, para cada caso, o gráfico de , para encontrar em um *fitting* linear o valor aproximado de  $\lambda$  e observar o comportamento. o código implementado está logo abaixo.

```
1  c      tarefa c
2      implicit real*8(a-h, o-z)
3      parameter(tempo = 30.d0) !tempo total do problema
4      parameter(i = 1000) !número de passos
5      parameter(g = 9.8d0) !aceleração gravitacional
6      parameter(comp = 9.8d0) !comprimento do pêndulo
7      parameter(pi = dacos(-1.d0))
8      parameter(rm = 1.d0) !massa
9      parameter(gamma = 0.5d0)
10     parameter(F0 = 1.2d0) !força que vou alternando para os casos
11     parameter(omegaF = 2.d0/3.d0)
12     parameter(theta01 = 0.221d0)
13     parameter(theta02 = 0.222d0)
14
15  c      arquivos de saída para graficar
16     iout10 = 10 !unidade arquivo de saída
17     open(unit=iout10, FILE='saida-c-f12.dat')
18
19     omega01 = 0.d0
20     omega02 = 0.d0
21     deltaT = tempo/i !o valor de cada delta t
22     deltaTheta = theta02 - theta01 !diferença de ângulos inicial
23
24  c      Método de Euler-Cromer
25     omega1 = omega01
26     omega2 = omega02
27     theta1 = theta01
```

```

28     theta2 = theta02
29     do j = 1, i
30         !cálculo do omega
31         t = j*deltaT
32         omega1 = omega1 - (g/comp)*dsin(theta1)*deltaT - gamma*omega1*del
33 +taT +F0*deltaT*dsin(omegaF*t)
34         omega2 = omega2 - (g/comp)*dsin(theta2)*deltaT - gamma*omega2*del
35 +taT +F0*deltaT*dsin(omegaF*t)
36         !cálculo do theta
37         theta1 = theta1 + deltaT*omega1
38         theta2 = theta2 + deltaT*omega2
39
40         deltaTheta = theta2 - theta1
41
42         write(iout10,*) t, dlog(abs(deltaTheta))
43     end do
44
45     close(iout10)
46
47     end

```

#### Algoritmo 5: código para resolução da tarefa C

Os resultados obtidos estão na figura a seguir. Vemos claramente que no caso de  $F_0 = 0,5$ , temos os pêndulos convergindo para uma mesma posição, pois o gráfico linear é decrescente. O valor de  $\lambda$  encontrado foi de -0,25, aproximadamente. Logo, o movimento não é caótico, como vimos na tarefa anterior. Já no caso  $F_0 = 1,2$ , temos mais uma confirmação, o movimento é realmente caótico. O gráfico linear que melhor descreve é crescente e tem coeficiente angular,  $\lambda$ , de valor aproximado a 0,08.

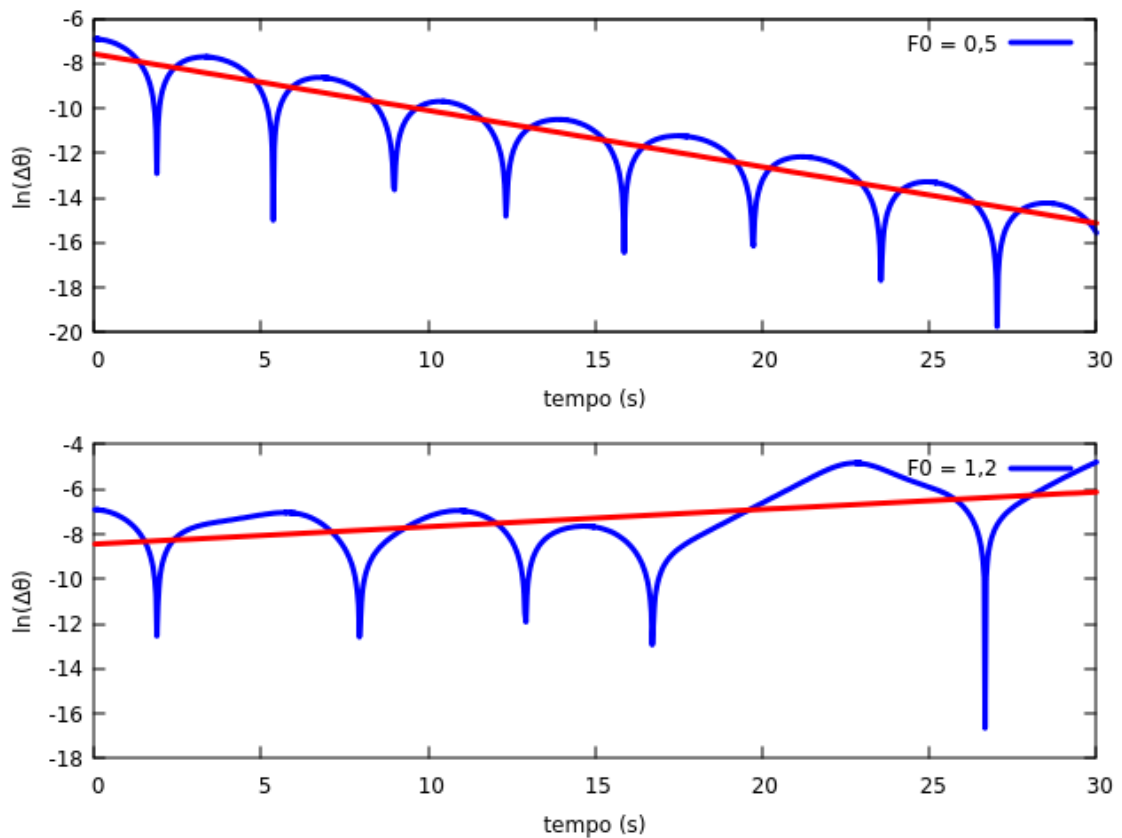


Figura 7:  $\ln(\Delta\theta)$  versus *tempo* para os dois casos

## Tarefa D

A tarefa D complementa a anterior. Agora iremos visualizar para cada caso o gráfico de  $\omega(\theta)$ . O código implementado, que não traz novidades, está disposto logo abaixo.

```

1  c      tarefa d
2      implicit real*8(a-h, o-z)
3      parameter(tempo = 100.d0) !tempo total do problema
4      parameter(i = 1000) !número de passos
5      parameter(g = 9.8d0) !aceleração gravitacional
6      parameter(comp = 9.8d0) !comprimento do pêndulo
7      parameter(pi = dacos(-1.d0))
8      parameter(rm = 1.d0) !massa
9      parameter(gamma = 0.5d0)
10     parameter(F0 = 1.2d0) !força que vou alternando para os casos
11     parameter(omegaF = 2.d0/3.d0)
12     parameter(theta01 = 0.221d0)
13     parameter(theta02 = 0.222d0)
14
15  c      arquivos de saída para graficar
16     iout10 = 10 !unidade arquivo de saída
17     open(unit=iout10, FILE='saida-d-f12-p1.dat')
18     iout11 = 11 !unidade arquivo de saída

```

```

19     open(unit=iout11, FILE='saida-d-f12-p2.dat')
20
21     omega01 = 0.d0
22     omega02 = 0.d0
23     deltaT = tempo/i !o valor de cada delta t
24     deltaTheta = theta02 - theta01 !diferença de ângulos inicial
25
26 c   Método de Euler-Cromer
27     omega1 = omega01
28     omega2 = omega02
29     theta1 = theta01
30     theta2 = theta02
31     do j = 1, i
32         !cálculo do omega
33         t = j*deltaT
34         omega1 = omega1 - (g/comp)*dsin(theta1)*deltaT - gamma*omega1*del
35         +taT +F0*deltaT*dsin(omegaF*t)
36         omega2 = omega2 - (g/comp)*dsin(theta2)*deltaT - gamma*omega2*del
37         +taT +F0*deltaT*dsin(omegaF*t)
38         !cálculo do theta
39         theta1 = theta1 + deltaT*omega1
40         theta2 = theta2 + deltaT*omega2
41
42     write(iout10,*) theta1, omega1
43     write(iout11,*) theta2, omega2
44     end do
45
46     close(iout10)
47     close(iout11)
48
49     end

```

Algoritmo 6: código para resolução da tarefa D  
Os gráficos obtidos são os abaixo.

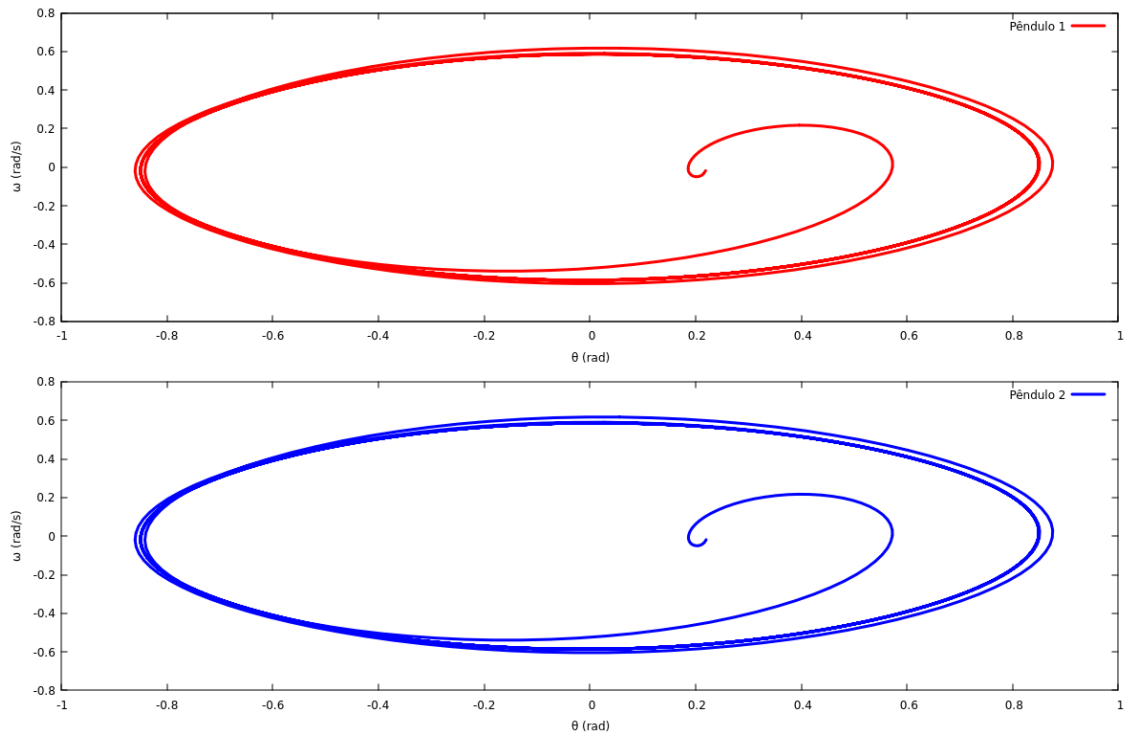


Figura 8:  $\omega(\theta)$  para  $F_0 = 0, 5$ , separados

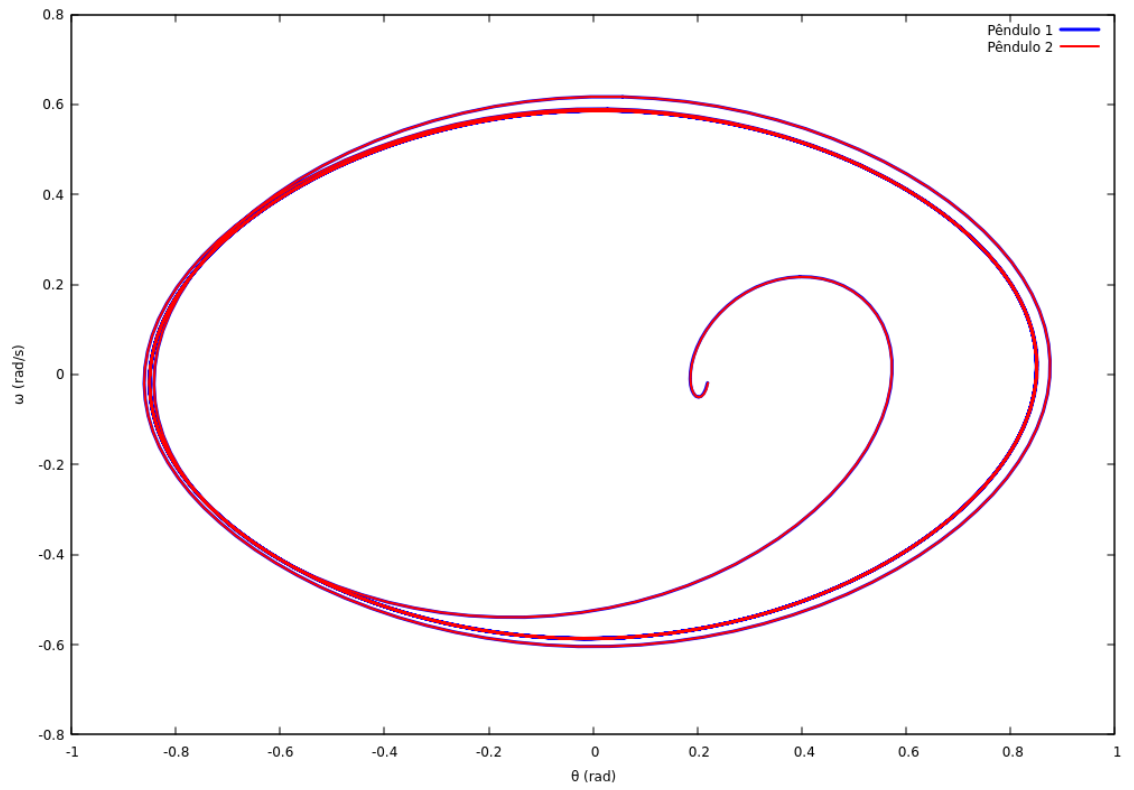


Figura 9:  $\omega(\theta)$  para  $F_0 = 0, 5$ , juntos



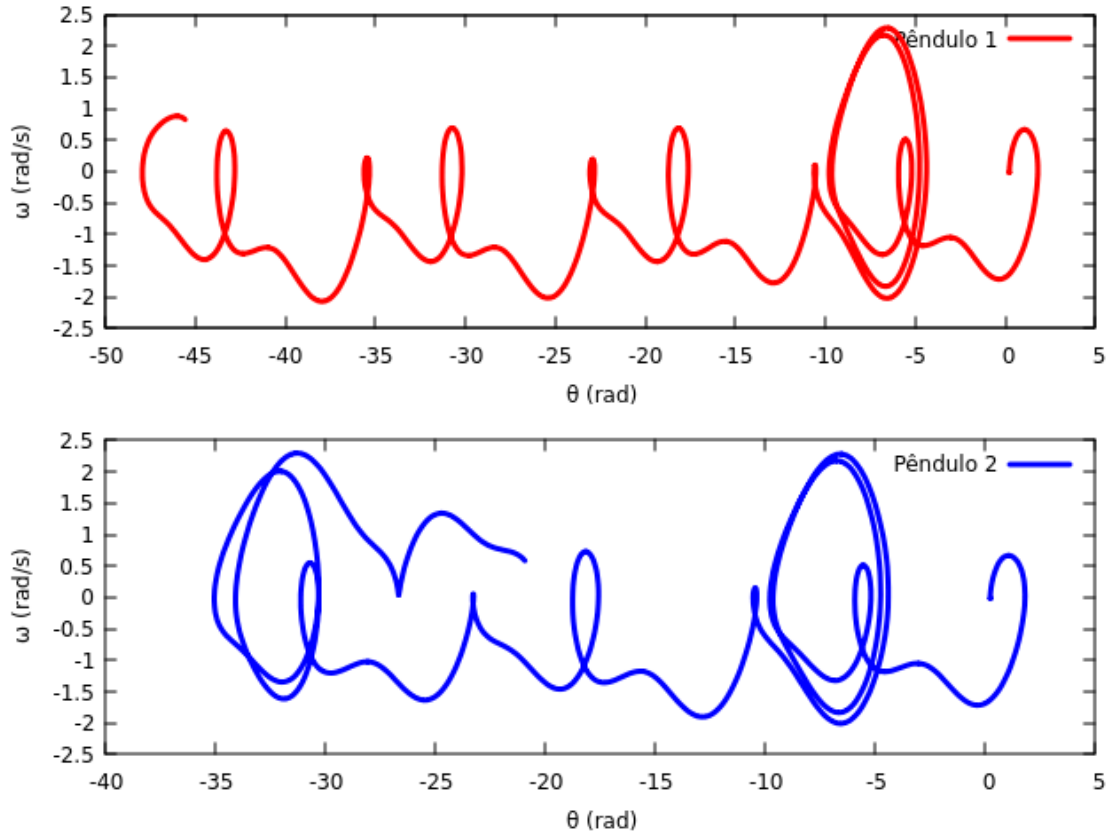


Figura 10:  $\omega(\theta)$  para  $F_0 = 1, 2$ , separados

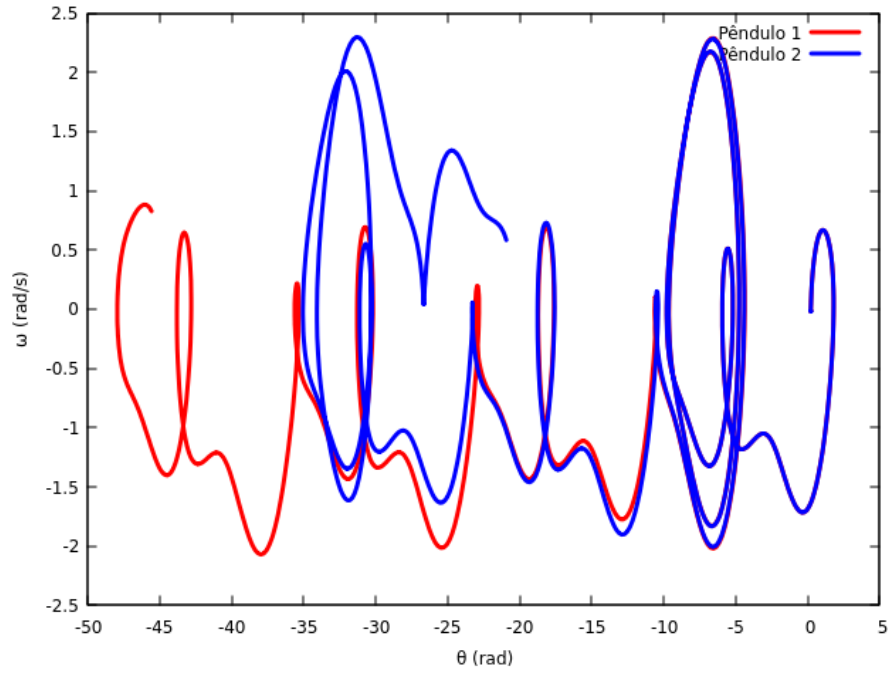


Figura 11:  $\omega(\theta)$  para  $F_0 = 0, 5$ , juntos

Assim conseguimos visualizar com clareza como o movimento no caso  $F_0 = 0, 5$  converge e o do caso  $F_0 = 1, 2$  diverge. Decidi colocar, para cada um dos casos, uma plotagem

separada de cada pêndulo e depois juntos. Dessa forma conseguimos observar como eles evoluem separadamente e qual as diferenças entre eles.

No caso  $F_0 = 0,5$ , vemos que os gráficos começam pouco separados e depois são iguais, quase não conseguimos diferenciá-los juntos. Já no outro caso, temos um movimento claramente caótico que diverge, pois começam, como no primeiro caso, pouco separados e logo ficam completamente diferentes.

## Tarefa E

A tarefa E serve para visualizarmos o que foi estudo na tarefa anterior com mais clareza. Neste caso, vamos utilizar a secção de Poincaré, em que plotamos no gráfico de  $\omega(\theta)$  apenas os pontos em que a seguinte igualdade é verdadeira, para  $n$  inteiro:

$$\Omega t = n\pi$$

ou seja, quando  $\Omega t$  é múltiplo de  $\pi$ , que foi a lógica utilizada no *if* do código implementado (coloquei que  $\text{mod}(\text{omegaF} * t, \text{pi}) .\text{lt. } 0.000000001$  e não 0 para levar em conta erros intrínsecos a limitação de precisão do computador e da linguagem). O código utilizado está disposto logo abaixo.

```

1  c      tarefa e
2      implicit real*8(a-h, o-z)
3      parameter(tempo = 100.d0) !tempo total do problema
4      parameter(i = 1000) !número de passos
5      parameter(g = 9.8d0) !aceleração gravitacional
6      parameter(comp = 9.8d0) !comprimento do pêndulo
7      parameter(pi = dacos(-1.d0))
8      parameter(rm = 1.d0) !massa
9      parameter(gamma = 0.5d0)
10     parameter(F0 = 1.2d0) !força que vou alternando para os casos
11     parameter(omegaF = 2.d0/3.d0)
12     parameter(theta01 = 1.2d0)
13     parameter(theta02 = 2.4d0)
14
15  c      arquivos de saída para graficar
16     iout10 = 10 !unidade arquivo de saída
17     open(unit=iout10, FILE='saida-e-f12-p1.dat')
18     iout11 = 11 !unidade arquivo de saída
19     open(unit=iout11, FILE='saida-e-f12-p2.dat')
20
21     omega01 = 0.d0
22     omega02 = 0.d0
23     deltaT = tempo/i !o valor de cada delta t
24
25  c      Método de Euler-Cromer
26     omega1 = omega01
27     omega2 = omega02
28     theta1 = theta01
29     theta2 = theta02

```

```

30     do j = 1, i
31         !cálculo do omega
32         t = j*deltaT
33         omega1 = omega1 - (g/comp)*dsin(theta1)*deltaT - gamma*omega1*del
34 +taT +F0*deltaT*dsin(omegaF*t)
35         omega2 = omega2 - (g/comp)*dsin(theta2)*deltaT - gamma*omega2*del
36 +taT +F0*deltaT*dsin(omegaF*t)
37         !cálculo do theta
38         theta1 = theta1 + deltaT*omega1
39         theta2 = theta2 + deltaT*omega2
40         theta1 = mod(theta1, 2*pi)
41         theta2 = mod(theta2, 2*pi)
42
43     if (mod(omegaF*t, pi) .lt. 0.000000001) then
44         write(iout10,*) theta1, omega1
45         write(iout11,*) theta2, omega2
46     end if
47
48 end do
49
50 close(iout10)
51 close(iout11)
52
53 end

```

Algoritmo 7: código para resolução da tarefa E

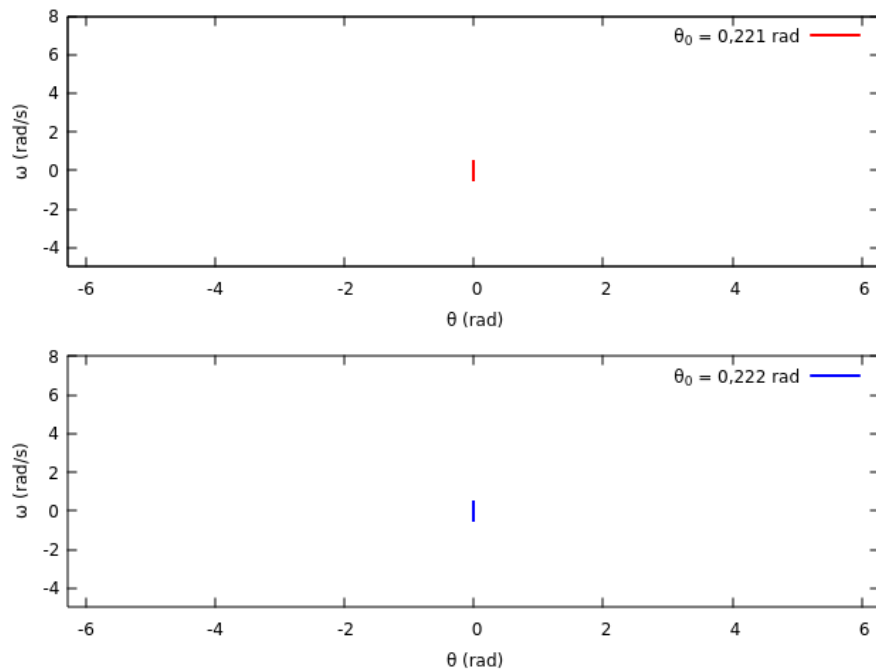


Figura 12:  $\omega(\theta)$  para  $F_0 = 0,5$  na condição inicial descrita no gráfico

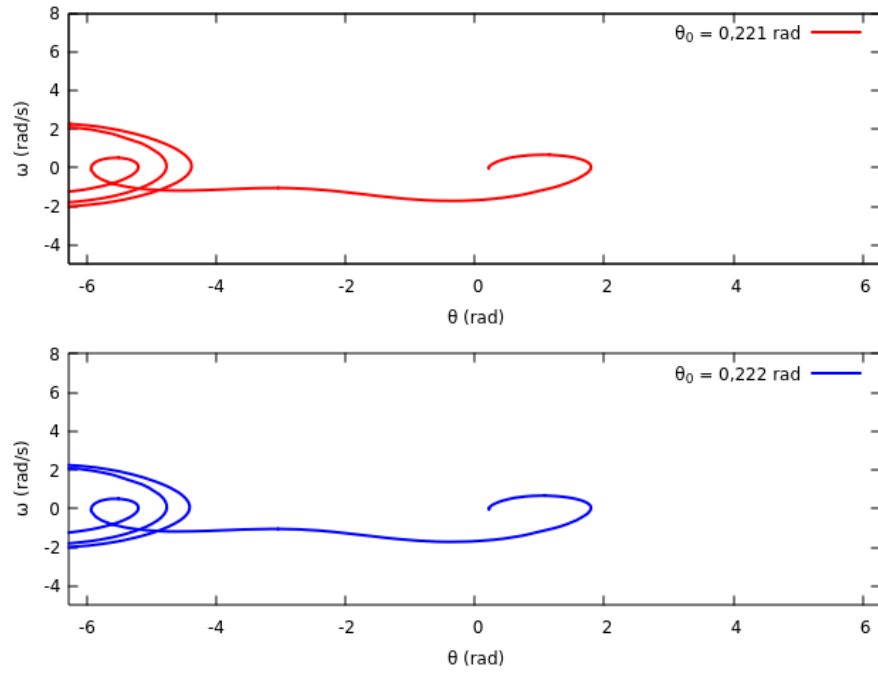


Figura 13:  $\omega(\theta)$  para  $F_0 = 1, 2$  na condição inicial descrita no gráfico

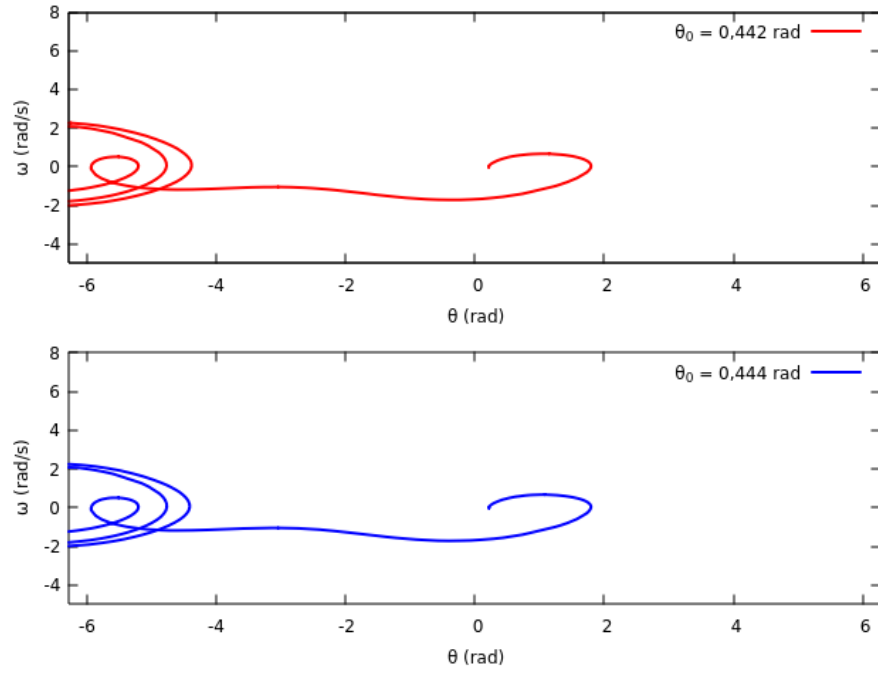


Figura 14:  $\omega(\theta)$  para  $F_0 = 1, 2$  na condição inicial descrita no gráfico

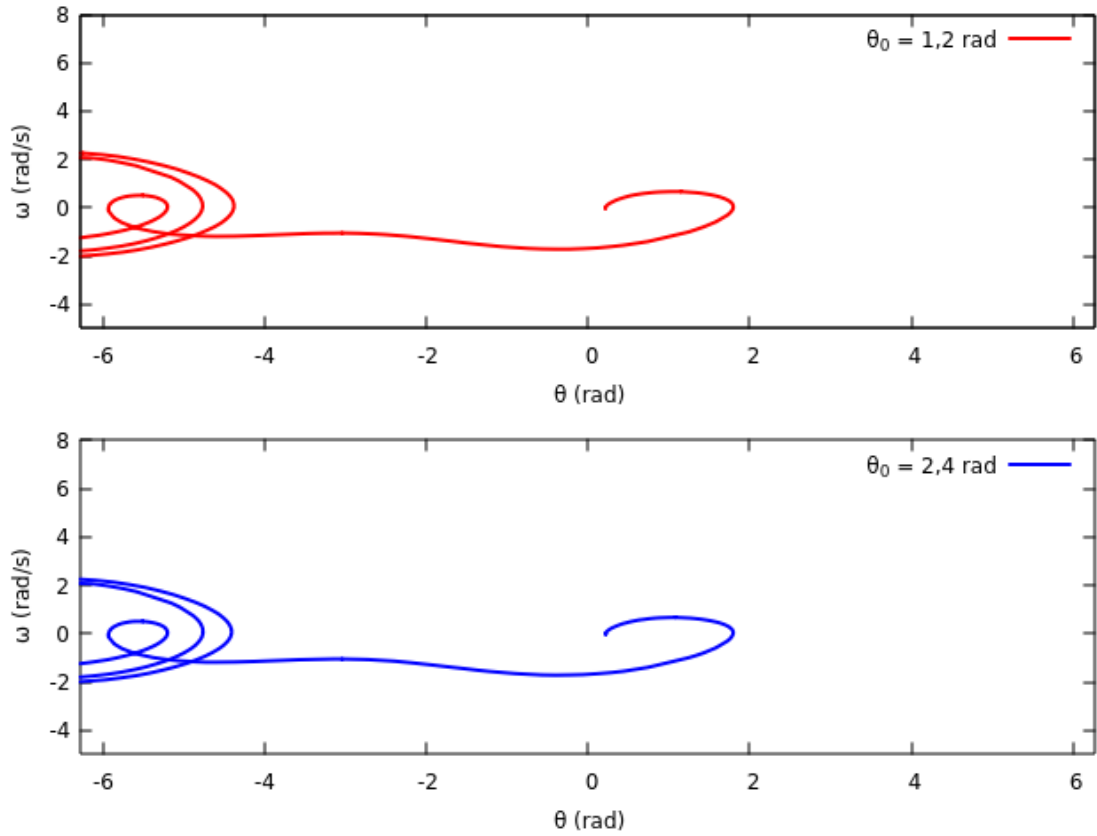


Figura 15:  $\omega(\theta)$  para  $F_0 = 1, 2$  na condição inicial descrita no gráfico

Assim, temos as seguintes conclusões para o que foi visto nos gráficos acima.

- As figuras não se alteram se mudamos as condições iniciais, visto que as testadas foram completamente diferentes entre si, demonstrando a universalidade do caos;
- As figuras para movimentos não caóticos (determinísticos) são realmente um ponto, visto que por alguma limitação de precisão intrínseca a linguagem e ao computador vemos uma pequena reta, quase um ponto;
- As figuras que mostram os movimentos caóticos, os atratores estranhos podem ser visualizadas acima.